

## I-496 巨礫を受けるコンクリート製砂防ダム袖部の衝撃破壊シミュレーション解析

防衛大学校 学生員○鈴木 真次  
 八千代エンジニアリング(株) 正員 下田 義文  
 防衛大学校 正員 石川 信隆  
 山口大学 正員 古川 浩平

## 1. 緒言

急流河川域に砂防ダムが土石流防御のために建設されているが、最近、土石流によってコンクリート製砂防ダムの袖部が破壊される例が見られた。土石流には多くの巨礫が含まれるが、砂防ダムの設計に当たってはその衝撃力があまり考慮されていない。著者ら<sup>1) 2)</sup>は、土石流中の巨礫がコンクリート製砂防ダムの袖部に衝突する際の衝突現象について、小型および大型模型実験および2質点系モデルにより解明した。

本研究は、この2質点系モデルを用いて、コンクリート製砂防ダム袖部の衝撃破壊推定法を開発し、実被害例と比較してその適用性について検討したものである。

## 2. 巨礫に対するコンクリート製砂防ダム袖部の衝撃

## 破壊シミュレーション解析

## (1) 解析の基本式

図-1(a)に示すようなコンクリート製砂防ダム袖部を図-1(c)のような2質点系にモデル化する。この2質点系モデルの運動方程式をNewmark β法によって解き、最大衝撃荷重  $P_{\max}$ をコンクリート袖部底面の最大内力として次式により算定するものとする。

$$P_{\max} = k_1 \cdot y_1 \quad (1)$$

また局部バネ係数  $k_2$ は、水山<sup>3)</sup>によるHertzの接触力の式を改良した式を用いる。

## (2) 最適化手法による減衰定数の決定

図-1中の2つの減衰係数  $C_1$ と  $C_2$ は、最適化手法による同定法により決定するものとし、その基本式は表-1となる。その解法に当たっては最適化プログラムADSを用いた。その結果、先の実験<sup>1)</sup>において衝突点周辺のモルタルが破壊し、大きな残留めり込み量が残ることから判断して衝突面の現象を臨界減衰状態であること

を考慮して  $h_1 = 0.436$ ,  $h_2 = 1.00$ の値を採用した(ただし、 $h_1$ は式(1c)参照)。

## 3. 実被害のあった砂防ダムへのシミュレーション解析

## (1) 最大粒径、土石流速度、打点位置をパラメータとしたシミュレーション解析

表-2に示すように土石流に含まれる巨礫のうち、実被害に影響を与えてるのは平均粒径ではなく最大粒径であることがわかる。よって、ここでは、最大粒径  $D_{\max}$ (m)、土石流流速  $V$ (m/sec)、打点位置  $H$ (m)をパラメータとして2質点系モデルによる計算結果と実被害との比較を行った。その結果、①最大粒径が大きいとかなり遅い速度( $V=2.0$ m/sec)でも破壊が生じている。②当然ながら土石流速度が早いと破壊が生じやすい。③打点位置が天端に近いほど破壊が生じやすい、ことなどが判明した。

## (2) 雨量強度等による土石流を用いたコンクリート製砂防ダムの衝撃破壊推定

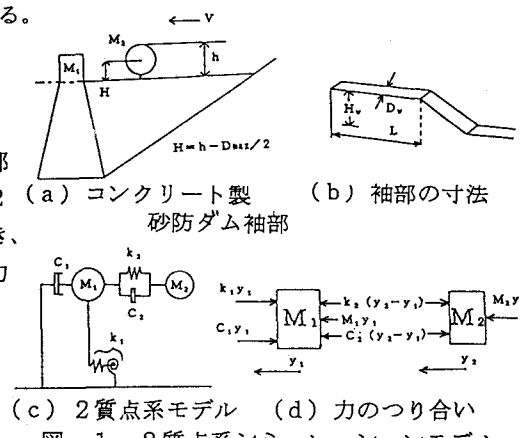


図-1 2質点系シミュレーションモデル

表-1 減衰定数の同定基本式

未知数	$h_1, h_2$	$\rightarrow \min$	(1a)
目的関数	$Z = (\epsilon_{\max} - \epsilon_{\text{max}})^2$		
制約条件	$1 \geq h_i \geq 0$		(1b)
	$h_i = C_i / 2 \sqrt{k_i M_i} \quad (i = 1, 2)$		(1c)

ただし、 $\epsilon_{\max}$ :2質点系モデルによる衝撃応答解析から得られる袖部根元部の引張ひずみの計算値、 $\epsilon_{\text{max}}$ :模型実験から得られる根元部の引張ひずみの実験値、 $k_i$ :片持ちばかりのバネ定数( $k_i = (h^3 / 3EI + \beta h^2 / GA)^{-1}$ )、 $k$ :局部バネ定数、 $M_1, C_1$ :片持ちばかりの換算質量、減衰係数、 $M_2, C_2$ :巨礫の質量、減衰係数

土石流は、その流れに巨礫を含んでいるが、その表一2では、表一4に示すように高橋ら<sup>5)</sup>による流量算定式を用い、またマニングの公式<sup>6)</sup>を用いて、水深を算出した。その際、その水深が最大粒径よりも小さい場合は最大粒径と同じにした後<sup>7)</sup>、その水深から流速を求めた。そこで、この流速および水深をもつ土石流のうちの最大粒径が袖部に衝突すると想定してシミュレーション解析を行った。また、袖部の長さ(L)は、砂防ダムが6m(または12m)ブロックで施工しており、ブロック間の力学的つながりはいっさい考慮されていないので、そのブロック長以上の袖部は、L=6m(または12m)とした。

シミュレーション解析の結果、最大ひずみは表一3のように得られた。コンクリートの引張限界である $\epsilon_u = 200\mu$ を破壊とするとシミュレート解析結果は実被害<sup>4), 8)</sup>と約7割(23/34)の精度で一致することが認められた。

#### 4. 結論

(1)簡単な2質点系モデルによりコンクリート製砂防ダム袖部の破壊をシミュレートする手法を開発し、それを実被害例と比較した結果、かなりよくシミュレートすることが認められた。(2)土石流発

生時の袖部破壊は、土石流中の最大粒径に大きく左右されることが判明し、流速および打点位置にも大きく影響を受けることが確認された。(3)雨量強度等から予想される土石流を用いた場合でも、約7割の精度で被害予想を推定できることが認められた。

参考文献: 1) 水山高久、下田義文、石川信隆; コンクリート製砂防ダムに対する巨礫の衝撃模型実験に関する一考察、構造工学論文集、pp. 1095~1104、1989年3月  
2) 下田義文、水山高久、石川信隆、古川浩平; コンクリート製砂防ダム袖部に対する大型衝撃模型実験について、落石等による衝撃問題に関するシンポジウム講演論文集、pp. 139~142、1991年3月 3) 水山高久; 砂防ダムに対する土石流衝撃力算定とその問題点、新砂防112号、pp. 40~43、昭和54年8月 4) 栃木省二、海堀正博;豪雨による土砂移動のあった砂防・治水ダムの堆砂実態、平成2年度砂防学会

最大粒径、速度、打点位置をパラメータとしたシミュレーション

(a) 打点位置H=2/3×袖高

堆体番号	平均粒径	最大粒径	Max:実被害V=2.0m/sV=4.0m/sV=6.0m/sV=8.0m/sV=10.0m/s	Max:実被害V=2.0m/sV=4.0m/sV=6.0m/sV=8.0m/sV=10.0m/s	Max:実被害V=2.0m/sV=4.0m/sV=6.0m/sV=8.0m/sV=10.0m/s	Max:実被害V=2.0m/sV=4.0m/sV=6.0m/sV=8.0m/sV=10.0m/s	Max:実被害V=2.0m/sV=4.0m/sV=6.0m/sV=8.0m/sV=10.0m/s
1	0.005	0.005	○	○	○	○	○
2	0.1	0.1	○	○	○	○	○
3	0.01	0.15	○	○	○	○	○
4	0.05	0.6	○	○	○	○	○
5	0.06	0.6	○	○	○	○	○
6	0.2	0.7	○	○	○	○	○
7	0.1	0.8	○	○	○	○	○
8	0.1	0.9	○	○	○	○	○
9	0.06	1	○	○	○	○	○
10	0.1	1.2	○	○	○	○	○
11	0.04	1.4	○	○	○	○	×
12	0.12	1.5	○	○	○	○	×
13	0.3	1.6	○	○	○	○	×
14	0.3	1.6	○	○	○	○	×
15	0.2	1.8	○	○	○	○	×
16	0.05	2	○	○	○	○	×
17	0.05	2	○	○	○	×	×
18	0.06	2	×	○	○	×	×
19	0.4	3	○	○	×	○	×
20	0.03	3	×	○	○	×	×
21	0.1	3	○	○	○	○	×

(b) 打点位置H=天端

堆体番号	平均粒径	最大粒径	Max:実被害V=2.0m/sV=4.0m/sV=6.0m/sV=8.0m/sV=10.0m/s	Max:実被害V=2.0m/sV=4.0m/sV=6.0m/sV=8.0m/sV=10.0m/s	Max:実被害V=2.0m/sV=4.0m/sV=6.0m/sV=8.0m/sV=10.0m/s	Max:実被害V=2.0m/sV=4.0m/sV=6.0m/sV=8.0m/sV=10.0m/s	Max:実被害V=2.0m/sV=4.0m/sV=6.0m/sV=8.0m/sV=10.0m/s
1	0.005	0.005	○	○	○	○	○
2	0.1	0.1	○	○	○	○	○
3	0.01	0.15	○	○	○	○	○
4	0.05	0.6	○	○	○	○	○
5	0.06	0.6	○	○	○	○	○
6	0.2	0.7	○	○	○	○	○
7	0.1	0.8	○	○	○	○	○
8	0.1	0.9	○	○	○	○	○
9	0.06	1	○	○	○	○	○
10	0.1	1.2	○	○	○	○	×
11	0.04	1.4	○	○	○	×	×
12	0.12	1.5	○	○	○	×	×
13	0.3	1.6	○	○	○	×	×
14	0.3	1.6	○	○	○	×	×
15	0.2	1.8	○	○	○	×	×
16	0.05	2	○	○	○	×	×
17	0.05	2	○	○	○	×	×
18	0.06	2	×	○	○	×	×
19	0.4	3	○	○	×	○	×
20	0.03	3	1	○	○	×	×
21	0.1	3	1	○	○	×	×

○破壊しない ×破壊した(引張限界を $\epsilon_u = 200\mu$ を破壊とした。)

表一3 雨量強度等による流速を用いた場合のシミュレーション

No.	堆体番号	平均粒径	最大粒径	Max:実被害V=2.0m/sV=4.0m/sV=6.0m/sV=8.0m/sV=10.0m/s	Max:実被害V=2.0m/sV=4.0m/sV=6.0m/sV=8.0m/sV=10.0m/s	Max:実被害V=2.0m/sV=4.0m/sV=6.0m/sV=8.0m/sV=10.0m/s	Max:実被害V=2.0m/sV=4.0m/sV=6.0m/sV=8.0m/sV=10.0m/s
1	5状	0.6	6.3	1.5 1 0.6 3.84 2.5 0.5 0.3 6.39	1.5 1 0.6 3.84 2.5 0.5 0.3 6.39	1.5 1 0.6 3.84 2.5 0.5 0.3 6.39	1.5 1 0.6 3.84 2.5 0.5 0.3 6.39
2	7状	0.8	6.3	1.6 1 0.8 5.74 9.2 0.8 0.4 9.56	1.6 1 0.8 5.74 9.2 0.8 0.4 9.56	1.6 1 0.8 5.74 9.2 0.8 0.4 9.56	1.6 1 0.8 5.74 9.2 0.8 0.4 9.56
3	10状	1.2	6.9	1.9 1.3 1.2 0.6 4.19 15.7 1.2 0.6 6.98	1.9 1.3 1.2 0.6 4.19 15.7 1.2 0.6 6.98	1.9 1.3 1.2 0.6 4.19 15.7 1.2 0.6 6.98	1.9 1.3 1.2 0.6 4.19 15.7 1.2 0.6 6.98
4	11状	1.4	6.6	1.5 1 1.4 0.7 6.39 65.7 1.4 0.7 10.655	1.5 1 1.4 0.7 6.39 65.7 1.4 0.7 10.655	1.5 1 1.4 0.7 6.39 65.7 1.4 0.7 10.655	1.5 1 1.4 0.7 6.39 65.7 1.4 0.7 10.655
5	12状	1.6	6.5	1.5 1 1.5 0.75 5.8 71.1 1.5 0.75 9.67	1.5 1 1.5 0.75 5.8 71.1 1.5 0.75 9.67	1.5 1 1.5 0.75 5.8 71.1 1.5 0.75 9.67	1.5 1 1.5 0.75 5.8 71.1 1.5 0.75 9.67
6	13状	1.8	6.13.5	1.5 1 2.1 1 8.59 225.5 1.6 0.8 11.93	1.5 1 2.1 1 8.59 225.5 1.6 0.8 11.93	1.5 1 2.1 1 8.59 225.5 1.6 0.8 11.93	1.5 1 2.1 1 8.59 225.5 1.6 0.8 11.93
7	14状	1.6	6.16	1.5 1 1.5 1.81 1.01 8.29 186.6 1.6 0.8 11.93	1.5 1 1.5 1.81 1.01 8.29 186.6 1.6 0.8 11.93	1.5 1 1.5 1.81 1.01 8.29 186.6 1.6 0.8 11.93	1.5 1 1.5 1.81 1.01 8.29 186.6 1.6 0.8 11.93
8	15状	1.8	6.4	1.8 1 1.82 0.92 7.91 151 1.8 0.9 13.18	1.8 1 1.82 0.92 7.91 151 1.8 0.9 13.18	1.8 1 1.82 0.92 7.91 151 1.8 0.9 13.18	1.8 1 1.82 0.92 7.91 151 1.8 0.9 13.18
9	18状	2	6	6 1 1.5 1 2 1 10.93 337.7 2 1 18.22	6 1 1.5 1 2 1 10.93 337.7 2 1 18.22	6 1 1.5 1 2 1 10.93 337.7 2 1 18.22	6 1 1.5 1 2 1 10.93 337.7 2 1 18.22
10	20状	3	6 9	1.5 1 3 1 3 1 8.04 486.2 3 1 13.41	1.5 1 3 1 3 1 8.04 486.2 3 1 13.41	1.5 1 3 1 3 1 8.04 486.2 3 1 13.41	1.5 1 3 1 3 1 8.04 486.2 3 1 13.41
11	22状	6	20	1.5 1 2 1 1.00 0.50 3.76 10.30 1.00 0.50 5.27	1.5 1 2 1 1.00 0.50 3.76 10.30 1.00 0.50 5.27	1.5 1 2 1 1.00 0.50 3.76 10.30 1.00 0.50 5.27	1.5 1 2 1 1.00 0.50 3.76 10.30 1.00 0.50 5.27
12	23状	6	22	3 2 3.5 1.44 0.94 5.08 11.39 1.06 0.56 6.90	3 2 3.5 1.44 0.94 5.08 11.39 1.06 0.56 6.90	3 2 3.5 1.44 0.94 5.08 11.39 1.06 0.56 6.90	3 2 3.5 1.44 0.94 5.08 11.39 1.06 0.56 6.90
13	24状	12	10.5	3 7 1.5 3 1.5 1 4.81 4.10 7.50 3.91 3.41 5.57	3 7 1.5 3 1.5 1 4.81 4.10 7.50 3.91 3.41 5.57	3 7 1.5 3 1.5 1 4.81 4.10 7.50 3.91 3.41 5.57	3 7 1.5 3 1.5 1 4.81 4.10 7.50 3.91 3.41 5.57
14	25状	33.5	3	3 1 3.69 1 1.19 3.94 6.10 1.24 0.74 5.36	3 1 3.69 1 1.19 3.94 6.10 1.24 0.74 5.36	3 1 3.69 1 1.19 3.94 6.10 1.24 0.74 5.36	3 1 3.69 1 1.19 3.94 6.10 1.24 0.74 5.36
15	26状	6	21	3 7 1.00 0.50 4.16 0.70 1.00 0.50 2.36	3 7 1.00 0.50 4.16 0.70 1.00 0.50 2.36	3 7 1.00 0.50 4.16 0.70 1.00 0.50 2.36	3 7 1.00 0.50 4.16 0.70 1.00 0.50 2.36
16	27状	6	2	1 4.2 2.5 1.00 0.50 2.58 12.10 1.00 0.50 4.30	1 4.2 2.5 1.00 0.50 2.58 12.10 1.00 0.50 4.30	1 4.2 2.5 1.00 0.50 2.58 12.10 1.00 0.50 4.30	1 4.2 2.5 1.00 0.50 2.58 12.10 1.00 0.50 4.30
17	28状	6	13.8	2 3 1.20 0.60 4.58 10.60 1.20 0.60 7.63	2 3 1.20 0.60 4.58 10.60 1.20 0.60 7.63	2 3 1.20 0.60 4.58 10.60 1.20 0.60 7.63	2 3 1.20 0.60 4.58 10.60 1.20 0.60 7.63
18	29状	6	15.3	1.7 2.5 1.45 0.85 4.06 22.30 1.20 0.60 5.94	1.7 2.5 1.45 0.85 4.06 22.30 1.20 0.60 5.94	1.7 2.5 1.45 0.85 4.06 22.30 1.20 0.60 5.94	1.7 2.5 1.45 0.85 4.06 22.30 1.20 0.60 5.94
19	30状	6	28	2 4.5 1.50 0.75 4.90 9.89 1.50 0.75 4.21	2 4.5 1.50 0.75 4.90 9.89 1.50 0.75 4.21	2 4.5 1.50 0.75 4.90 9.89 1.50 0.75 4.21	2 4.5 1.50 0.75 4.90 9.89 1.50 0.75 4.21
20	31状	6	31.5	25 3 1.50 0.75 4.61 15.70 1.50 0.75 7.63	25 3 1.50 0.75 4.61 15.70 1.50 0.75 7.63	25 3 1.50 0.75 4.61 15.70 1.50 0.75 7.63	25 3 1.50 0.75 4.61 15.70 1.50 0.75 7.63
21	32状	6	26.3	2 4.5 1.80 0.80 4.67 35.20 1.80 0.89 7.78	2 4.5 1.80 0.80 4.67 35.20 1.80 0.89 7.78	2 4.5 1.80 0.80 4.67 35.20 1.80 0.89 7.78	2 4.5 1.80 0.80 4.67 35.20 1.80 0.89 7.78
22	33状	6	33.1	1.5 3.5 2.07 1.07 2.91 67.20 2.00 1.00 4.75	1.5 3.5 2.07 1.07 2.91 67.20 2.00 1.00 4.75	1.5 3.5 2.07 1.07 2.91 67.20 2.00 1.00 4.75	1.5 3.5 2.07 1.07 2.91 67.20 2.00 1.00 4.75
23	34状	6	49.9	2 5.2 1.50 0.80 4.58 4.50 3.60 20.00 833.7	2 5.2 1.50 0.80 4.58 4.50 3.60 20.00 833.7	2 5.2 1.50 0.80 4.58 4.50 3.60 20.00 833.7	2 5.2 1.50 0.80 4.58 4.50 3.60 20.00 833.7
24	35状	6	7.25	2 2.2 2.5 2.00 1.00 3.74 45.70 2.00 1.00 6.23	2 2.2 2.5 2.00 1.00 3.74 45.70 2.00 1.00 6.23	2 2.2 2.5 2.00 1.00 3.74 45.70 2.00 1.00 6.23	2 2.2 2.5 2.00 1.00 3.74 45.70 2.00 1.00 6.23
25	36状	6	12.5	3 5.5 2.55 1.59 3.63 30.50 2.00 1.00 5.09	3 5.5 2.55 1.59 3.63 30.50 2.00 1.00 5.09	3 5.5 2.55 1.59 3.63 30.50 2.00 1.00 5.09	3 5.5 2.55 1.59 3.63 30.50 2.00 1.00 5.09
26	37状	6	1.2	7.8 2 1.2 1.12 3.89 2.30 2.00 1.00 6.23	7.8 2 1.2 1.12 3.89 2.30 2.00 1.00 6.23	7.8 2 1.2 1.12 3.89 2.30 2.00 1.00 6.23	7.8 2 1.2 1.12 3.89 2.30 2.00 1.00 6.23
27	38状	6	12.30.9	4 2.5 2.00 1.00 6.44 13.39 2.00 1.00 10.72	4 2.5 2.00 1.00 6.44 13.39 2.00 1.00 10.72	4 2.5 2.00 1.00 6.44 13.39 2.00 1.00 10.72	4 2.5 2.00 1.00 6.44 13.39 2.00 1.00 10.72
28	39状	6	28.5	2.5 3 2.00 1.00 6.29 61.20 2.00 1.00 10.48	2.5 3 2.00 1.00 6.29 61.20 2.00 1.00 10.48	2.5 3 2.00 1.00 6.29 61.20 2.00 1.00 10.48	2.5 3 2.00 1.00 6.29 61.20 2.00 1.00 10.48
29	40状	6	17	2 2.5 3.21 1.71 9.64 665.30 3.00 1.00 15.35	2 2.5 3.21 1.71 9.64 665.30 3.00 1.00 15.35	2 2.5 3.21 1.71 9.64 665.30 3.00 1.00 15.35	2 2.5 3.21 1.71 9.64 665.30 3.00 1.00 15.35
30	41状	6	34.3	1.44 4.5 3.00 1.50 9.21 836.10 3.00 1.00 15.35	1.44 4.5 3.00 1.50 9.21 836.10 3.00 1.00 15.35	1.44 4.5 3.00 1.50 9.21 836.10 3.00 1.00 15.35	1.44 4.5 3.00 1.50 9.21 836.10 3.00 1.00 15.35
31	42状	6	7.65	1.5 3 3.00 1.50 8.43 846.00 3.00 1.00 14.06	1.5 3 3.00 1.50 8.43 846.00 3.00 1.00 14.06	1.5 3 3.00 1.50 8.43 846.00 3.00 1.00 14.06	1.5 3 3.00 1.50 8.43 846.00 3.00 1.00 14.06
32	43状	6					